

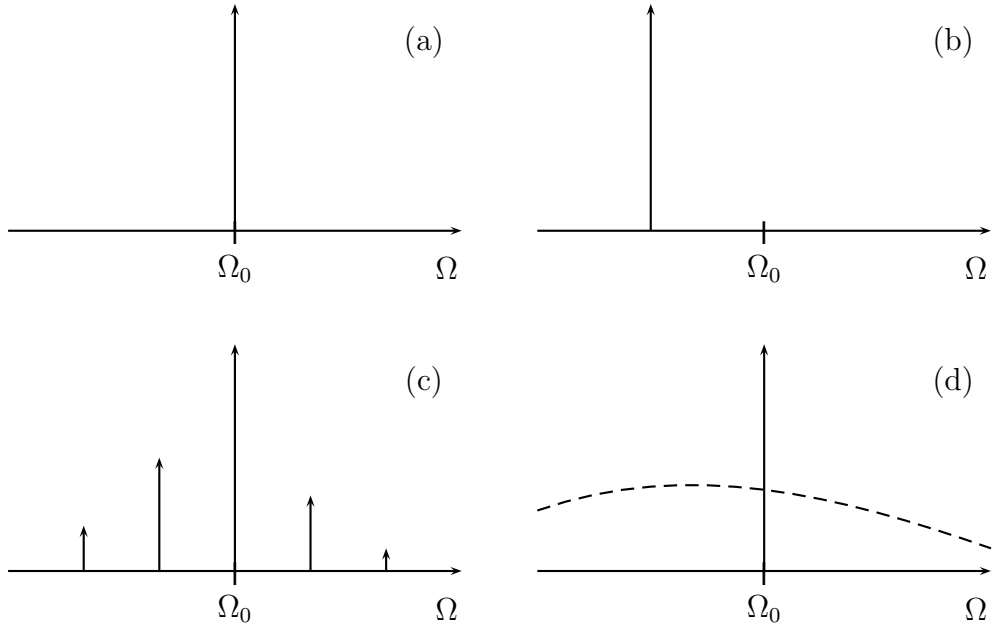
# Fonony a Mössbauerův jev

Ilja Turek

February 18, 2010

## 1 Úvod

- pevné jádro při přechodu z excitovaného do základního stavu vyzařuje foton s vlnovým vektorem  $\mathbf{K}$  a s frekvencí  $\Omega_0$  danou energetickým rozdílem obou stavů; přechod je způsoben interakcí vnitřních stupňů volnosti jádra s elektromagnetickým polem
- při uvážení pohybu těžiště volného jádra se díky zpětnému rázu (zachování impulsu a energie) vyzáří foton s frekvencí menší než  $\Omega_0$
- jádro v PL vyzařuje fotony s frekvencemi změněnými od  $\Omega_0$  o frekvence z fononového spektra; kromě toho je však v emisním spektru přítomna též komponenta s původní frekvencí  $\Omega_0$  (*Mössbauerův jev* - viz obr.)  $\Rightarrow$  možnost pozorování jaderné rezonanční absorpce
- jednoduché vysvětlení Mössbauerova jevu, založené na potlačení vlivu zpětného rázu v důsledku mnohonásobně větší hmoty celé PL ve srovnání s hmotou jediného jádra, je nedostatečné, neboť ignoruje možný vliv fononů (kmitů krystalové mřížky)
- hodnoty pro jádro  $^{57}\text{Fe}$ : energie jaderného přechodu 14 keV, přirozená šířka čáry  $5 \times 10^{-9}$  eV, energie zpětného rázu  $2 \times 10^{-3}$  eV



Obrázek znázorňující spektrální hustotu (jako funkci frekvence  $\Omega$ ) el.-mag. záření emitovaného z jádra: (a) pevného, (b) volného, (c) v poli jediného harmonického oscilátoru, (d) v pevné látce.

## 2 Klasický popis pohybu jader

- v tomto případě popíšeme el.-mag. pole i kmity jader klasicky; kvantově pojednáme pouze jaderné vnitřní stupně volnosti
- nejprve uvažujeme jádro o hmotě  $M$  pohybující se pouze ve směru vlnového vektoru  $\mathbf{K}$ ; jádro se nachází v poli jediného harmonického oscilátoru s frekvencí  $\omega$  ( $\omega \ll \Omega_0$ ), tj. časová závislost výchylky jádra  $q(t)$  je dána periodickou funkcí

$$q(t) = q \cos(\omega t) + \frac{p}{M\omega} \sin(\omega t) , \quad (1)$$

kde  $q$  a  $p$  značí hodnotu výchylky a hybnosti v čase  $t = 0$

- frekvenci el.-mag. záření označíme  $\Omega$ ; pro vlnové délky záření mnohem větší než rozměry jádra lze časově závislý interakční hamiltonián  $\hat{H}'(t)$  psát ve tvaru

$$\hat{H}'(t) = \hat{H}'_{\text{nucl}} \exp(i\Omega t) \exp[-iKq(t)] + \text{h.c.} , \quad (2)$$

kde operátor  $\hat{H}'_{\text{nucl}}$  popisuje interakci vnitřních stupňů volnosti jádra s (časově i prostorově konstantním) el.-mag. polem. Porucha  $\hat{H}'_{\text{nucl}} \exp(i\Omega t)$  vede podle Fermiho zlatého pravidla k přechodu mezi stavem jádra počátečním ( $i$  - excitovaným) a konečným ( $f$  - základním) s pravděpodobností přechodu za jednotku času  $\sim |\langle f | \hat{H}'_{\text{nucl}} | i \rangle|^2 \delta(\Omega - \Omega_0)$ .

- zavedeme-li Fourierovy koeficienty  $C_n$  (závislé na počátečních podmínkách  $p, q$ ) periodické funkce  $\exp[-iKq(t)]$ ,

$$\exp[-iKq(t)] = \sum_{n=-\infty}^{\infty} C_n \exp(in\omega t), \quad (3)$$

pak můžeme časovou závislost poruchy  $\hat{H}'(t)$  (2) přepsat do tvaru

$$\hat{H}'(t) = \hat{H}'_{\text{nucl}} \sum_{n=-\infty}^{\infty} C_n \exp[i(\Omega + n\omega)t] + \text{h.c.} . \quad (4)$$

Tato časová závislost obsahuje nekonečně mnoho frekvencí, což vede k pravděpodobnosti přechodu za jednotku času závislé na frekvenci  $\Omega$  podle

$$w_{fi}(\Omega) \sim \sum_{n=-\infty}^{\infty} |C_n|^2 \delta(\Omega + n\omega - \Omega_0), \quad (5)$$

tj. přechody budou nastávat pro frekvence  $\Omega$  posunuté vzhledem k  $\Omega_0$  o celistvé násobky frekvence oscilátoru  $n\omega$  (viz předchozí obr.), a to s intenzitami úměrnými  $|C_n|^2$ .

- koeficienty  $C_n$  splňují sumační pravidlo (důsledek  $|\exp[-iKq(t)]| = 1$ )

$$\sum_{n=-\infty}^{\infty} |C_n|^2 = 1, \quad (6)$$

takže relativní zastoupení komponenty s nezměněnou frekvencí  $\Omega_0$  v emisním spektru je dán veličinou  $C_0^2$  ( $C_0$  je reálné)

- explicitní vyjádření  $C_n$  lze získat pomocí Besselových funkcí  $J_n(z)$  a vztahu

$$\exp(iz \sin t) = \sum_{n=-\infty}^{\infty} J_n(z) \exp(int); \quad (7)$$

vyjde mj.  $C_0 = J_0(Kr)$  a  $|C_n|^2 = J_n^2(Kr)$ , kde  $r^2 = q^2 + (p/M\omega)^2$

- při experimentech na souboru identických jader v termodynamické rovnováze s teplotou  $T$  bude frekvence  $\Omega_0$  zastoupena v emisním spektru s relativní

intenzitou  $\langle C_0^2 \rangle$ , kde  $\langle \dots \rangle$  značí statistické středování přes proměnné  $p, q$  (viz dodatek A); pro  $\langle C_0^2 \rangle$  lze díky (43) získat dolní odhad

$$\langle C_0^2 \rangle \geq \langle C_0 \rangle^2, \quad \langle C_0 \rangle = \exp\left(-\frac{K^2}{2} \langle q^2 \rangle\right), \quad (8)$$

který dokazuje, že komponenta s původní frekvencí  $\Omega_0$  bude ve spektru vždy přítomna. Poznamenejme, že  $\langle C_0 \rangle$  udává vystředovanou hodnotu *amplitudy* komplexní funkce (3).

- přesný výpočet  $\langle C_0^2 \rangle$  s využitím (7) vede k výsledku

$$\begin{aligned} \langle C_0^2 \rangle &= \exp(-K^2 \langle q^2 \rangle) J_0(iK^2 \langle q^2 \rangle) \\ &= \exp(-K^2 \langle q^2 \rangle) \left(1 + \frac{K^4}{4} \langle q^2 \rangle^2 + \dots\right), \end{aligned} \quad (9)$$

který ukazuje, že dolní odhad (8) je velice dobrým vyjádřením pro malé hodnoty  $K^2 \langle q^2 \rangle$ , s relativní chybou řádu  $K^4 \langle q^2 \rangle^2$

- pro jádro v PL je nutno nahradit faktor  $\exp[-iKq(t)]$  v (2) obecným výrazem  $\exp[-i\mathbf{K} \cdot \mathbf{q}(t)]$ , kde  $\mathbf{q}(t)$  je výchylka mössbauerovského jádra, jehož rovnovážnou polohu volíme v uzlovém bodě Bravaisovy mřížky  $\mathbf{R} = \mathbf{0}$ , tj.  $\mathbf{q}(t) = \mathbf{q}_0(t)$
- výchylku atomu  $\mathbf{q}_{\mathbf{R}}(t)$  z rovnovážné polohy v uzlovém bodě  $\mathbf{R}$  Bravaisovy mřížky lze psát pomocí normálních souřadnic  $Q_j(\mathbf{k}, t)$  takto:

$$q_{\mathbf{R}\alpha} = \frac{1}{\sqrt{N}} \sum_{\mathbf{k}}^{\text{BZ}} \sum_{j=1}^3 e_{\alpha}^{(j)}(\mathbf{k}) \exp(i\mathbf{k} \cdot \mathbf{R}) Q_j(\mathbf{k}), \quad (10)$$

kde  $\alpha = x, y, z$  značí složku výchylky,  $N$  značí počet atomů ve velkém rovnoběžnostěnu (periodické okrajové podmínky),  $\mathbf{k}$  je kvazispojitý vektor z 1. Brillouinovy zóny (BZ),  $j = 1, 2, 3$  čísluje větev fononového spektra a  $e_{\alpha}^{(j)}(\mathbf{k})$  značí  $\alpha$ -tou složku polarizačního vektoru  $j\mathbf{k}$ -tého fononového módu. Vztah mezi hybnostmi  $\mathbf{p}_{\mathbf{R}}(t)$  a  $P_j(\mathbf{k}, t)$  kanonicky sdruženými k  $\mathbf{q}_{\mathbf{R}}(t)$  a  $Q_j(\mathbf{k}, t)$  zní

$$P_j(\mathbf{k}) = \frac{1}{\sqrt{N}} \sum_{\mathbf{R}} \sum_{\alpha} e_{\alpha}^{(j)}(\mathbf{k}) \exp(i\mathbf{k} \cdot \mathbf{R}) p_{\mathbf{R}\alpha}. \quad (11)$$

Při obvyklém normování polarizačních vektorů na jednotku, tj. při

$$\sum_{\alpha} |e_{\alpha}^{(j)}(\mathbf{k})|^2 = 1, \quad (12)$$

přejde původní hamiltonián soustavy kmitajících jader v nových proměnných do tvaru

$$H = \sum_{\mathbf{k}}^{\text{BZ}} \sum_{j=1}^3 \left[ \frac{P_j^2(\mathbf{k})}{2M} + \frac{M\omega_j^2(\mathbf{k})}{2} Q_j^2(\mathbf{k}) \right], \quad (13)$$

což odpovídá systému  $3N$  nezávislých harmonických oscilátorů.

- po přechodu k normálním souřadnicím  $Q_s(t) = Q_j(\mathbf{k}, t)$  podle (10) pro výchylku emitujícího jádra  $\mathbf{q}(t) = \mathbf{q}_0(t)$  dostaneme

$$\begin{aligned} \mathbf{K} \cdot \mathbf{q}(t) &= \sum_s \kappa_s Q_s(t), \quad s \equiv (j\mathbf{k}), \quad \mathbf{k} \in \text{BZ}, \quad j = 1, 2, 3, \\ \kappa_s &= \frac{1}{\sqrt{N}} \sum_{\alpha} K_{\alpha} e_{\alpha}^{(j)}(\mathbf{k}), \end{aligned} \quad (14)$$

kde jsme zavedli kvazispojitý složený index  $s$  fononových módů s frekvencemi  $\omega_s = \omega_j(\mathbf{k})$ . Jednotlivé fononové módy přitom vstupují do fáze el.-mag. vlny s efektivními vlnovými čísly  $\kappa_s$ , přičemž  $\kappa_s \rightarrow 0$  pro  $N \rightarrow \infty$ .

- vzhledem k nezávislosti normálních módů je zřejmé, že v emisním spektru budou obsaženy frekvence  $\Omega = \Omega_0 + \sum_s n_s \omega_s$ , kde všechna  $n_s$  jsou celá čísla; relativní intenzita čáry s frekvencí  $\Omega_0$  (tj. všechna  $n_s = 0$ ) bude pak dána součinem výrazů (9) přes všechny módy; vyjde výraz

$$f = \exp \left( - \sum_s \kappa_s^2 \langle Q_s^2 \rangle \right) \left( 1 + \frac{1}{4} \sum_s \kappa_s^4 \langle Q_s^2 \rangle^2 + \dots \right), \quad (15)$$

kde sumu v argumentu exponenciály lze podle (14) ztotožnit s  $\langle (\mathbf{K} \cdot \mathbf{q})^2 \rangle$  (nezávislost normálních módů), zatímco druhá suma i další vytečkované členy pro nekonečnou PL ( $N \rightarrow \infty$ ) vymizí; výsledek tedy je

$$f = \exp \left\{ - \langle (\mathbf{K} \cdot \mathbf{q})^2 \rangle \right\}, \quad (16)$$

což je tzv. Lambův-Mössbauerův faktor: relativní intenzita čáry s neposunutou frekvencí  $\Omega_0$  je dána střední hodnotou kvadrátu výchylky jádra ve směru emitovaného fotonu

### 3 Kvantový popis pohybu jader

- v tomto případě popisujeme klasicky pouze el.-mag. pole; pro kmity jader i jaderné vnitřní stupně volnosti použijeme kvantový popis

- pro jádro v poli jediného harmonického oscilátoru s hamiltoniánem

$$\hat{H}_{\text{osc}} = \frac{\hat{p}^2}{2M} + \frac{M\omega^2}{2}\hat{q}^2, \quad (17)$$

jehož vlastní hodnoty jsou  $E_n = \hbar\omega(n + \frac{1}{2})$ , kde  $n \in \{0, 1, \dots\}$ , bude mít časově závislý interakční hamiltonián  $\hat{H}'(t)$  tvar [srov. (2)]

$$\hat{H}'(t) = \hat{H}'_{\text{nucl}} \exp(-iK\hat{q}) \exp(i\Omega t) + \text{h.c.} \quad (18)$$

Pro pravděpodobnost přechodu za jednotku času mezi počátečním kvantovým stavem  $|i\rangle$  s jádrem v excitovaném stavu a oscilátorem ve stavu  $n$  a konečným stavem  $|f\rangle$  s jádrem v základním stavu a oscilátorem ve stavu  $n'$  dostaneme frekvenční závislost (Fermiho zlaté pravidlo):

$$w_{fi}(\Omega) \sim |C_{n'n}|^2 \delta(\Omega - \Omega_0 + (n' - n)\omega), \quad (19)$$

kde  $C_{n'n}$  značí maticový element

$$C_{n'n} = \langle n' | \exp(-iK\hat{q}) | n \rangle. \quad (20)$$

Vztah (19) znamená existenci přechodů s frekvencemi  $\Omega$  posunutými vzhledem k  $\Omega_0$  o  $(n' - n)\omega$ ; intenzity jednotlivých přechodů jsou úměrné  $|C_{n'n}|^2$ .

- maticové elementy  $C_{n'n}$  splňují sumační pravidlo

$$\sum_{n'=0}^{\infty} |C_{n'n}|^2 = 1, \quad (21)$$

takže  $C_{nn}^2$  udává relativní intenzitu komponenty s nezměněnou frekvencí  $\Omega_0$  ( $C_{nn}$  jsou reálné)

- emisní spektrum souboru identických jader o teplotě  $T$  bude obsahovat čáru s frekvencí  $\Omega_0$  s relativní intenzitou  $\langle C_{nn}^2 \rangle$ , kde  $\langle X_n \rangle \equiv \sum_{n=0}^{\infty} \rho_n X_n$  značí statistické středování s boltzmannovským rozdělením, tj.  $\rho_n \sim \exp(-\beta E_n)$  (viz dodatek A); s užitím (47) lze pro  $\langle C_{nn}^2 \rangle$  získat dolní odhad

$$\begin{aligned} \langle C_{nn}^2 \rangle &\geq \langle C_{nn} \rangle^2, \\ \langle C_{nn} \rangle &= \langle \exp(-iK\hat{q}) \rangle = \exp\left(-\frac{K^2}{2} \langle \hat{q}^2 \rangle\right), \end{aligned} \quad (22)$$

který je kvantovou analogií klasického odhadu (8)

- přesnější výpočet  $\langle C_{nn}^2 \rangle$  lze snadno provést jen ve fyzikálně významné limitě  $K \rightarrow 0$ ; z Taylorova rozvoje exponenciály v (20) do členů  $\sim K^4$  se získá

$$\langle C_{nn}^2 \rangle - \langle C_{nn} \rangle^2 \approx \frac{K^4}{4} \left( \langle \langle n | \hat{q}^2 | n \rangle^2 \rangle - \langle \hat{q}^2 \rangle^2 \right). \quad (23)$$

Díky vztahu  $\langle n|\hat{q}^2|n\rangle = E_n/(M\omega^2)$  lze pravou stranu v (23) vyjádřit pomocí stavové sumy harmonického oscilátoru; výsledek lze psát ve tvaru [srv. (9)]

$$\langle C_{nn}^2 \rangle = \exp(-K^2 \langle \hat{q}^2 \rangle) \left[ 1 + \frac{K^4}{4} (\langle \hat{q}^2 \rangle^2 - \langle \hat{q}^2 \rangle_0^2) + \dots \right], \quad (24)$$

kde  $\langle \hat{q}^2 \rangle_0 = \hbar/(2M\omega)$  značí kvadrát výchylky oscilátoru v základním stavu. Poznamenejme pro úplnost, že přesný vztah zní:

$$\langle C_{nn}^2 \rangle = \exp(-K^2 \langle \hat{q}^2 \rangle) J_0\left(iK^2 \sqrt{\langle \hat{q}^2 \rangle^2 - \langle \hat{q}^2 \rangle_0^2}\right), \quad (25)$$

což je opět analogické výrazu klasickému (9).

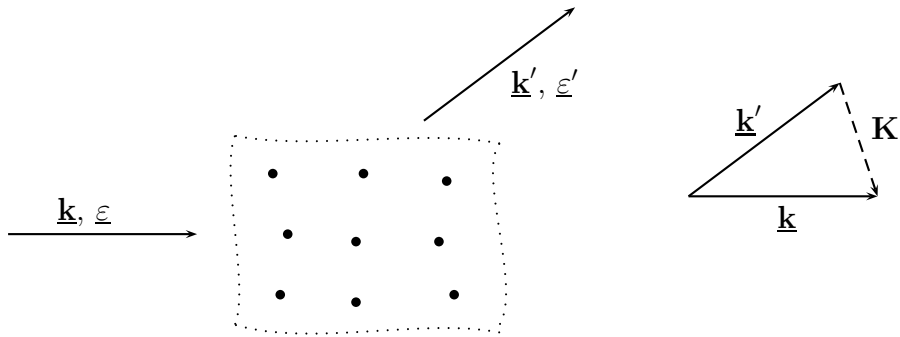
- pro jádro v nekonečné PL lze opět přejít k normálním souřadnicím; vyjde, že intenzita čáry s nezměněnou frekvencí  $\Omega_0$  (tj. četnost jaderného přechodu nedoprovázeného změnou fotonového stavu PL) je dána kvantovým Lamb-Mössbauerovým faktorem

$$f = \exp\left\{-\langle (\mathbf{K} \cdot \hat{\mathbf{q}})^2 \rangle\right\}. \quad (26)$$

Jeho hodnota je menší než v přístupu klasickém (16), zejména pro nízké teploty, avšak dostatečná pro pozorování a využití Mössbauerova jevu.

## 4 Vztah k Debye-Wallerovu faktoru

- teplotní závislost intenzity difrakčních maxim (neutrony, rtg. záření):



- ◊  $\hbar\mathbf{K}$  značí přenesený impuls pro přechod od dopadající částice (energie  $\varepsilon$ , vlnový vektor  $\underline{k}$ ) k vylétávající částici (energie  $\varepsilon'$ , vlnový vektor  $\underline{k}'$ ), tedy  $\mathbf{K} = \underline{k} - \underline{k}'$  (pro elastický rozptyl je samozřejmě  $\varepsilon' = \varepsilon$ ,  $\underline{k}' = \underline{k}$ )
- ◊ uvažujeme jen Bravaisovy mřížky (uzlové body  $\mathbf{R}$ ) obsazené shodnými atomy s identickými rozptylovými vlastnostmi [neutrony: rozptylová délka

(amplituda rozptylu, Fermiho pseudopotenciál), rtg. záření: atomový rozptylový faktor (formfaktor)]

- bez fononů je intenzita  $I \sim A_{\mathbf{K}} A_{\mathbf{K}}^*$ , kde amplituda  $A_{\mathbf{K}}$  je

$$A_{\mathbf{K}} \sim \sum_{\mathbf{R}} \exp(i\mathbf{K} \cdot \mathbf{R}) \sim \sum_{\mathbf{G}} \delta(\mathbf{K} - \mathbf{G}), \quad (27)$$

tj. maxima nastávají pro  $\mathbf{K} = \mathbf{G}$  (Braggova podmínka)

- se zahrnutím fononů nutno uvažovat diferenciální účinný průřez s rozlišením energie i směru vylétávajících částic (podle Fermiho zlatého pravidla)

$$\frac{d^2\sigma}{d\underline{\Omega}' d\underline{\varepsilon}'} \sim \sum_{n,n'} \rho_n \left| \langle n' | \hat{V}_{\mathbf{K}} | n \rangle \right|^2 \delta(\underline{\varepsilon}' + E_{n'} - \underline{\varepsilon} - E_n), \quad (28)$$

kde element prostorového úhlu  $d\underline{\Omega}'$  se vztahuje ke směru vektoru  $\underline{\mathbf{k}'}$ , indexy  $n, n'$  číslují vlastní stavy fononového hamiltoniánu příslušející vlastním energiím  $E_n, E_{n'}$  a  $\rho_n$  značí váhový faktor pro boltzmannovské statistické středování přes počáteční fononové stavy, tj.  $\rho_n \sim \exp(-\beta E_n)$ , kde  $\beta = (k_B T)^{-1}$ . Poruchový operátor  $\hat{V}_{\mathbf{K}}$  působí na Hilbertově prostoru fononových stavů a je definován vztahem

$$\hat{V}_{\mathbf{K}} = \sum_{\mathbf{R}} \exp[i\mathbf{K} \cdot (\mathbf{R} + \hat{\mathbf{q}}_{\mathbf{R}})], \quad (29)$$

kde  $\hat{\mathbf{q}}_{\mathbf{R}}$  je operátor výchylky  $\mathbf{R}$ -tého jádra z jeho rovnovážné polohy  $\mathbf{R}$ .

- pomocí Fourierovy reprezentace  $\delta$ -funkce, tj.  $\delta(a) \sim \int_{-\infty}^{\infty} \exp(ia t) dt$ , lze (28) přepsat na

$$\begin{aligned} \frac{d^2\sigma}{d\underline{\Omega}' d\underline{\varepsilon}'} &\sim \sum_{n,n'} \rho_n \langle n | \hat{V}_{\mathbf{K}}^+ | n' \rangle \langle n' | \hat{V}_{\mathbf{K}} | n \rangle \\ &\times \int_{-\infty}^{\infty} \exp[i(E_{n'} - E_n)t/\hbar] \exp[i(\underline{\varepsilon}' - \underline{\varepsilon})t/\hbar] dt. \end{aligned} \quad (30)$$

Se zavedením časově závislého poruchového operátoru  $\hat{V}_{\mathbf{K}}(t)$  v Heisenbergově reprezentaci s fononovým hamiltoniánem  $\hat{H}$ , tj.

$$\hat{V}_{\mathbf{K}}(t) = \exp(i\hat{H}t/\hbar) \hat{V}_{\mathbf{K}} \exp(-i\hat{H}t/\hbar), \quad (31)$$

lze psát pro maticový element v (30) vztah

$$\exp[i(E_{n'} - E_n)t/\hbar] \langle n' | \hat{V}_{\mathbf{K}} | n \rangle = \langle n' | \hat{V}_{\mathbf{K}}(t) | n \rangle. \quad (32)$$

S tím lze diferenciální účinný průřez (30) přepsat do kompaktního tvaru

$$\begin{aligned} \frac{d^2\sigma}{d\underline{\Omega}' d\underline{\varepsilon}'} &\sim \int_{-\infty}^{\infty} \sum_{n,n'} \rho_n \langle n | \hat{V}_{\mathbf{K}}^+ | n' \rangle \langle n' | \hat{V}_{\mathbf{K}}(t) | n \rangle \exp[i(\underline{\varepsilon}' - \underline{\varepsilon})t/\hbar] dt \\ &= \int_{-\infty}^{\infty} \sum_n \rho_n \langle n | \hat{V}_{\mathbf{K}}^+ \hat{V}_{\mathbf{K}}(t) | n \rangle \exp[i(\underline{\varepsilon}' - \underline{\varepsilon})t/\hbar] dt \\ &= \int_{-\infty}^{\infty} \langle \hat{V}_{\mathbf{K}}^+ \hat{V}_{\mathbf{K}}(t) \rangle \exp[i(\underline{\varepsilon}' - \underline{\varepsilon})t/\hbar] dt , \end{aligned} \quad (33)$$

kde  $\langle \dots \rangle$  zahrnuje kvantově-mechanické středování v jednotlivých vlastních stavech a statistické středování přes všechny vlastní stavy (při teplotě  $T$ ).

- v nejjednodušším přiblížení (dobře splněném pro spojité fononová spektra v limitě velkých časů,  $t \rightarrow \pm\infty$ ) lze položit

$$\langle \hat{V}_{\mathbf{K}}^+ \hat{V}_{\mathbf{K}}(t) \rangle \approx \langle \hat{V}_{\mathbf{K}}^+ \rangle \langle \hat{V}_{\mathbf{K}}(t) \rangle , \quad (34)$$

což díky  $\langle \hat{V}_{\mathbf{K}}(t) \rangle = \langle \hat{V}_{\mathbf{K}} \rangle$  zredukuje (33) na elastický příspěvek k účinnému průřezu

$$\frac{d^2\sigma_{el}}{d\underline{\Omega}' d\underline{\varepsilon}'} \sim |\langle \hat{V}_{\mathbf{K}} \rangle|^2 \delta(\underline{\varepsilon}' - \underline{\varepsilon}) . \quad (35)$$

Integrací přes energii vylétávající částice  $\underline{\varepsilon}'$  z toho plyne diferenciální účinný průřez rozlišující pouze směr vylétávajících částic

$$\frac{d\sigma_{el}}{d\underline{\Omega}'} \sim |\langle \hat{V}_{\mathbf{K}} \rangle|^2 . \quad (36)$$

Pravá strana approximace (34) využívá jen střední hodnotu poruchového operátoru  $\hat{V}_{\mathbf{K}}$ , což odpovídá elastickému rozptylu s nezměněným fononovým stavem krystalu. Příspěvky k neelastickému rozptylu (doprovázenému emisí a/nebo absorpcí fononů) lze získat z rozdílu obou stran (34).

- pro střední hodnotu  $\langle \hat{V}_{\mathbf{K}} \rangle$  s využitím normálních souřadnic a vztahu (47) vyjde

$$\begin{aligned} \langle \hat{V}_{\mathbf{K}} \rangle &= \sum_{\mathbf{R}} \exp(i\mathbf{K} \cdot \mathbf{R}) \langle \exp(i\mathbf{K} \cdot \hat{\mathbf{q}}_{\mathbf{R}}) \rangle , \\ \langle \exp(i\mathbf{K} \cdot \hat{\mathbf{q}}_{\mathbf{R}}) \rangle &= \exp(-W_{\mathbf{K}}) , \quad W_{\mathbf{K}} = \frac{1}{2} \langle (\mathbf{K} \cdot \hat{\mathbf{q}}_{\mathbf{R}})^2 \rangle , \end{aligned} \quad (37)$$

kde  $W_{\mathbf{K}}$  je úměrné střední hodnotě kvadrátu výchylky jádra ve směru vektoru  $\mathbf{K}$ ; přitom  $W_{\mathbf{K}}$  závisí na směru i velikosti vektoru  $\mathbf{K}$ , ale nezávisí na  $\mathbf{R}$

- pro elasticky rozptýlenou intenzitu pak podle (36) a (37) vyjde

$$\frac{d\sigma_{el}}{d\underline{\Omega}'} \sim |\langle \hat{V}_{\mathbf{K}} \rangle|^2 = \exp(-2W_{\mathbf{K}}) \left| \sum_{\mathbf{R}} \exp(i\mathbf{K} \cdot \mathbf{R}) \right|^2 , \quad (38)$$

čili maxima intenzity nastávají opět pro  $\mathbf{K} = \mathbf{G}$ , ale hodnoty těch maxim jsou sníženy příslušným Debye-Wallerovým faktorem  $\exp(-2W_{\mathbf{G}})$

- podobnost Lamb-Mössbauerova a Debye-Wallerova faktoru: sv. (16), (26) a (37); oba faktory odrážejí přenos impulsu na krystalovou mřížku

# A Statistické vlastnosti harmonického oscilátoru

## A.1 Klasický případ

Pro jediný harmonický oscilátor s hmotou  $M$  a frekvencí  $\omega$  máme hamiltonián [srv. (13)]

$$H(P, Q) = \frac{P^2}{2M} + \frac{M\omega^2}{2} Q^2 . \quad (39)$$

Při teplotě  $T$  je statistické středování  $\langle \dots \rangle$  definováno vztahem

$$\langle f(P, Q) \rangle = \frac{\iint \exp(-\beta H(P, Q)) f(P, Q) dP dQ}{\iint \exp(-\beta H(P, Q)) dP dQ} , \quad (40)$$

kde  $f(P, Q)$  je libovolná funkce ve fázovém prostoru a  $\beta = (k_B T)^{-1}$ . S užitím gaussovského integrálu

$$\int_{-\infty}^{\infty} \exp\left(-\frac{x^2}{2} + bx\right) dx = \sqrt{2\pi} \exp\left(\frac{b^2}{2}\right) \quad (41)$$

lze dokázat platnost následujících vztahů:

$$\frac{1}{M} \langle P^2 \rangle = M\omega^2 \langle Q^2 \rangle = \langle H(P, Q) \rangle = k_B T , \quad (42)$$

$$\langle \exp(cQ) \rangle = \exp\left(\frac{c^2}{2} \langle Q^2 \rangle\right) , \quad (43)$$

kde  $c$  je libovolná (i komplexní) konstanta.

## A.2 Kvantový případ

Kvantovou analogií klasického hamiltoniánu (39) je [srv. (17)]

$$\hat{H} = \frac{\hat{P}^2}{2M} + \frac{M\omega^2}{2} \hat{Q}^2 = \hbar\omega \left( \hat{n} + \frac{1}{2} \right) , \quad (44)$$

kde  $\hat{n}$  je operátor počtu kvant. Kvantové statistické středování  $\langle \dots \rangle$  je definováno pomocí

$$\langle \hat{f} \rangle = \frac{\text{Tr} [\exp(-\beta \hat{H}) \hat{f}]}{\text{Tr} [\exp(-\beta \hat{H})]} , \quad (45)$$

kde  $\hat{f}$  je libovolný operátor a Tr značí stopu operátoru. Ze známého spektra hamiltoniánu (44) lze pomocí součtu nekonečné geometrické řady a pomocí viriálového teorému odvodit vztahy

$$\begin{aligned} \langle \hat{n} \rangle &= \frac{1}{\exp(\beta \hbar\omega) - 1} , \\ \langle \hat{H} \rangle &= \frac{1}{M} \langle \hat{P}^2 \rangle = M\omega^2 \langle \hat{Q}^2 \rangle = \frac{\hbar\omega}{2} \coth\left(\frac{\beta \hbar\omega}{2}\right) . \end{aligned} \quad (46)$$

Pro  $\hbar \rightarrow 0$  (klasická limita), nebo pro  $T \rightarrow \infty$  (limita vysokých teplot) přejde kvantový výraz pro střední hodnotu hamiltoniánu v klasický (42). Dále lze dokázat platnost vztahu

$$\langle \exp(c\hat{Q}) \rangle = \exp\left(\frac{c^2}{2} \langle \hat{Q}^2 \rangle\right), \quad (47)$$

v naprosté analogii s klasickým vztahem (43).

### A.3 Důkazy některých vztahů

- *Důkaz vztahu (47):*

Počítanou střední hodnotu lze vyjádřit ve tvaru

$$\langle \exp(c\hat{Q}) \rangle = \mathcal{Z}^{-1} \sum_{n=0}^{\infty} \lambda^n \langle n | \exp(c\hat{Q}) | n \rangle, \quad (48)$$

kde  $n = 0, 1, \dots$  čísluje vlastní stavy  $|n\rangle$  hamiltoniánu  $\hat{H}$  (44) a  $\mathcal{Z}$  značí příslušnou stavovou sumu, tj.  $\mathcal{Z} = \sum_{n=0}^{\infty} \lambda^n = (1 - \lambda)^{-1}$ , kde  $\lambda = \exp(-\beta\hbar\omega)$ . Zavedeme anihilační a kreační operátory

$$\hat{a} = \sqrt{\frac{M\omega}{2\hbar}} \left( \hat{Q} + i\frac{\hat{P}}{M\omega} \right), \quad \hat{a}^+ = \sqrt{\frac{M\omega}{2\hbar}} \left( \hat{Q} - i\frac{\hat{P}}{M\omega} \right), \quad (49)$$

pomocí nichž přepíšeme exponenciálu v (48) na

$$\exp(c\hat{Q}) = \exp(\xi\hat{a} + \xi\hat{a}^+), \quad \xi = c\sqrt{\frac{\hbar}{2M\omega}}. \quad (50)$$

Další krok spočívá na obecné identitě platné pro dva operátory  $\hat{A}, \hat{B}$ , které oba komutují se svým komutátorem  $[\hat{A}, \hat{B}]$ :

$$\exp(\hat{A} + \hat{B}) = \exp(\hat{A}) \exp(\hat{B}) \exp(-[\hat{A}, \hat{B}]/2). \quad (51)$$

Její aplikace na  $\hat{A} = \xi\hat{a}$ ,  $\hat{B} = \xi\hat{a}^+$  při využití  $[\hat{a}, \hat{a}^+] = 1$  dává

$$\exp(\xi\hat{a} + \xi\hat{a}^+) = \exp(\xi\hat{a}) \exp(\xi\hat{a}^+) \exp(-\xi^2/2). \quad (52)$$

Pomocí relace  $\hat{a}^+|n\rangle = \sqrt{n+1}|n+1\rangle$  lze vyjádřit  $\exp(\xi\hat{a}^+)|n\rangle$ , což dá

$$\exp(\xi\hat{a}^+)|n\rangle = \sum_{m=0}^{\infty} \frac{\xi^m}{m!} (\hat{a}^+)^m |n\rangle = \sum_{m=0}^{\infty} \frac{\xi^m}{m!} \sqrt{\frac{(n+m)!}{n!}} |n+m\rangle, \quad (53)$$

a podobně

$$\langle n | \exp(\xi\hat{a}) = \sum_{m=0}^{\infty} \frac{\xi^m}{m!} \sqrt{\frac{(n+m)!}{n!}} \langle n+m |. \quad (54)$$

Z rovnic (50, 52, 53, 54) plyne maticový element v (48) ve tvaru

$$\begin{aligned}
\langle n | \exp(c\hat{Q}) | n \rangle &= \exp(-\xi^2/2) \sum_{m=0}^{\infty} \frac{\xi^{2m}}{(m!)^2} \frac{(n+m)!}{n!} \\
&= \exp(-\xi^2/2) \sum_{m=0}^{\infty} \frac{\xi^{2m}}{m!} \binom{n+m}{n} \\
&= \exp(-\xi^2/2) (-1)^n \sum_{m=0}^{\infty} \frac{\xi^{2m}}{m!} \binom{-m-1}{n} , \quad (55)
\end{aligned}$$

kde jsme využili obecnou vlastnost binomického koeficientu,

$$\binom{x}{n} \equiv \frac{x(x-1)\dots(x-n+1)}{n!} = (-1)^n \binom{n-x-1}{n} , \quad (56)$$

platnou pro všechna (i komplexní)  $x$  a pro celá nezáporná  $n$  [pro  $n=0$  jsou oba binomické koeficienty v (56) rovny jedné pro všechna  $x$ ]. Dosazení (55) do (48) vede na dvojnou sumu, která po záměně pořadí sčítání dává výraz

$$\begin{aligned}
\langle \exp(c\hat{Q}) \rangle &= \mathcal{Z}^{-1} \exp(-\xi^2/2) \sum_{n=0}^{\infty} (-\lambda)^n \sum_{m=0}^{\infty} \frac{\xi^{2m}}{m!} \binom{-m-1}{n} \\
&= (1-\lambda) \exp(-\xi^2/2) \sum_{m=0}^{\infty} \frac{\xi^{2m}}{m!} \sum_{n=0}^{\infty} \binom{-m-1}{n} (-\lambda)^n \\
&= (1-\lambda) \exp(-\xi^2/2) \sum_{m=0}^{\infty} \frac{\xi^{2m}}{m!} (1-\lambda)^{-m-1} \\
&= \exp\left(\frac{\xi^2}{1-\lambda} - \frac{\xi^2}{2}\right) = \exp\left(\frac{\xi^2}{2} \frac{1+\lambda}{1-\lambda}\right) , \quad (57)
\end{aligned}$$

který je už ekvivalentní pravé straně dokazované rovnosti (47).

- *Důkaz vztahu (25):*

Zadefinujeme nejprve periodickou funkci času  $\mathcal{D}(t)$  vztahem

$$\mathcal{D}(t) = \sum_{n,n'=0}^{\infty} \rho_n \langle n | \exp(iK\hat{q}) | n' \rangle \exp[i(n'-n)\omega t] \langle n' | \exp(-iK\hat{q}) | n \rangle , \quad (58)$$

kde  $\rho_n \sim \exp(\beta E_n)$  jsou boltzmannovské pravděpodobnosti pro středování při teplotě  $T$ . Pak  $\langle C_{nn}^2 \rangle = \sum_{n=0}^{\infty} \rho_n C_{nn}^2$  je rovno konstantnímu členu ve Fourierově řadě funkce  $\mathcal{D}(t)$ . S definicí časově závislého operátoru  $\hat{q}(t)$  podle Heisenbergovy reprezentace s hamiltoniánem  $\hat{H}_{\text{osc}}$  (17),

$$\hat{q}(t) = \exp(i\hat{H}_{\text{osc}}t/\hbar) \hat{q} \exp(-i\hat{H}_{\text{osc}}t/\hbar) , \quad (59)$$

můžeme funkci  $\mathcal{D}(t)$  přepsat do tvaru

$$\mathcal{D}(t) = \langle \exp[iK\hat{q}(-t/2)] \exp[-iK\hat{q}(t/2)] \rangle , \quad (60)$$

kde  $\langle \dots \rangle$  značí kvantové statistické středování podle (45). Pro harmonický oscilátor platí explicitně

$$\begin{aligned}\hat{q}(t) &= \hat{q} \cos(\omega t) + \frac{\hat{p}}{M\omega} \sin(\omega t), \\ \hat{q}(\pm t/2) &= \hat{q} \cos(\omega t/2) \pm \frac{\hat{p}}{M\omega} \sin(\omega t/2),\end{aligned}\quad (61)$$

ve shodě s klasickým časovým vývojem (1). Aplikace identity (51) na případ  $\hat{A} = iK\hat{q}(-t/2)$ ,  $\hat{B} = -iK\hat{q}(t/2)$  a využití (61) vedou na tvar

$$\mathcal{D}(t) = \left\langle \exp \left[ -i \frac{2K\hat{p}}{M\omega} \sin(\omega t/2) \right] \right\rangle \exp \left[ i \frac{K^2\hbar}{2M\omega} \sin(\omega t) \right]. \quad (62)$$

Poslední středování lze provést pomocí vztahu (47) (platného i při záměně  $\hat{Q} \rightarrow \hat{p}$ ) a s využitím (46). Po úpravách se získá výsledek

$$\begin{aligned}\mathcal{D}(t) &= \exp \left[ -K^2 \frac{\hbar}{2M\omega} \coth \left( \frac{\beta\hbar\omega}{2} \right) \right] \\ &\times \exp \left[ K^2 \frac{\hbar}{2M\omega} \sinh^{-1} \left( \frac{\beta\hbar\omega}{2} \right) \cos \left( i \frac{\beta\hbar\omega}{2} - \omega t \right) \right].\end{aligned}\quad (63)$$

Fourierovu řadu periodické funkce  $\mathcal{D}(t)$  lze nyní snadno dostat z rovnosti  $\cos x = \sin(\frac{\pi}{2} - x)$  a z rozvoje (7). Konstantní člen v této Fourierově řadě pak dává vyjádření

$$\begin{aligned}\langle C_{nn}^2 \rangle &= \exp \left[ -K^2 \frac{\hbar}{2M\omega} \coth \left( \frac{\beta\hbar\omega}{2} \right) \right] \\ &\times J_0 \left[ iK^2 \frac{\hbar}{2M\omega} \sinh^{-1} \left( \frac{\beta\hbar\omega}{2} \right) \right],\end{aligned}\quad (64)$$

které je už ekvivalentní dokazovanému vztahu (25).